

⑤ Solution des équations du pompage optique (pour un atome de vitesse  $v$  imposée) :

a - Atome immobile ( $v = 0$ )

- Si  $z$  est indépendant du temps, (6.22) admet une solution stationnaire

$$m^{st}(z) = -\cos 2kz \quad (7.1)$$

d'où l'on déduit les populations stationnaires de  $|g_{+1/2}\rangle$ ,  $|g_{-1/2}\rangle$ , en utilisant (6.15) et (6.21)

$$\pi_{+1/2}^{st}(z) = \frac{1}{2}(1 + m^{st}(z)) = \sin^2 kz \quad (7.2.a)$$

$$\pi_{-1/2}^{st}(z) = \frac{1}{2}(1 - m^{st}(z)) = \cos^2 kz \quad (7.2.b)$$

- Les populations stationnaires de  $|g_{+1/2}\rangle$  et  $|g_{-1/2}\rangle$  sont représentées par les cercles pleins de la figure 3 (page VI-4). Le sous-niveau le plus peuplé est le sous-niveau le plus bas. Aux points où la polarisation est circulaire pure, le pompage optique est total dans l'un des deux sous-niveaux.

b - Atome de vitesse  $v$  :  $z = vt$

Solution générale

- En utilisant  $z = vt$ , on peut récrire (6.22) sous la forme

$$\dot{m}(t) + \frac{1}{\tau_p} m(t) = -\frac{1}{\tau_p} \cos 2kv t \quad (7.3)$$

qui est celle d'une équation différentielle linéaire à coefficients constants (car  $\tau_p$  est, d'après (6.23), indépendant de  $z$  et donc de  $t$ ), avec un terme source modulé à la fréquence  $2kv$ . La solution forcée de (7.3), à la fréquence  $2kv$ , s'est donc

$$m(t) = \text{Re} \frac{-\frac{1}{\tau_p}}{2ikv + \frac{1}{\tau_p}} e^{2ikvt} \quad (7.4)$$

c'est à dire encore en revenant à la variable  $z = vt$

$$m(z) = -\frac{1}{1 + 4k^2v^2\tau_p^2} \cos 2kz - \frac{2kv\tau_p}{1 + 4k^2v^2\tau_p^2} \sin 2kz \quad (7.5)$$

- Il apparaît clairement sur (7.4) et (7.5) que le paramètre important pour décrire les variations de  $m(z)$  avec  $v$  est

$$kv\tau_p = \frac{vt_p}{\lambda} \quad (7.6)$$

qui est le rapport entre la distance parcourue par l'atome pendant le temps de pompage optique et la longueur d'onde  $\lambda$ , qui caractérise les variations spatiales de l'onde laser.  $kv\tau_p$  est en quelque sorte un paramètre de non adiabaticité qui caractérise la difficulté qu'a le pompage optique de suivre les

[VII-2]

variations de la polarisation laser pour un atome en mouvement à la vitesse  $v$ . Si  $k v \tau_p \gg 1$ , les effets non adiabatiques seront importants.

- On peut encore dire que, dans son référentiel au repos, l'atome voit une lumière dont la polarisation est modulée, passant alternativement de  $5^+$  à  $5^-$ . Si la modulation est lente ( $k v \ll 1/\tau_p$ ), le pompage optique a le temps de suivre les variations de la polarisation, et  $M$  oscille entre -1 et +1. Si la modulation est rapide ( $k v \gg 1/\tau_p$ ), le pompage optique n'a plus le temps de suivre et l'atome n'est plus polarisé  $\rightarrow M \approx 0$  et par suite  $\pi_{+1/2} \approx \pi_{-1/2} \approx 1/2$ .

Solutions à faible vitesse :  $k v \tau_p \ll 1$

- A l'ordre 1 en  $k v \tau_p$ , (7.5) donne, compte tenu de (7.1)

$$\begin{aligned} M(z) &= -\cos 2kz - 2k v \tau_p \sin 2kz \\ &\approx -\cos 2k(z - v \tau_p) \\ &= M^{st}(z - v \tau_p) \end{aligned} \quad (7.7)$$

L'état interne d'un atome en mouvement lent, qui passe au point  $z$  avec la vitesse  $v$ , est donc le même que celui d'un atome qui serait au repos derrière lui au point  $z - v \tau_p$ . On voit ainsi clairement les "effets de retard" introduits sur un atome en mouvement par le fait que le pompage optique nécessite un temps fini  $\tau_p$ .

- Le résultat (7.7) peut être retrouvé par une autre méthode qui a l'avantage de s'appliquer même si  $\tau_p$  dépendait de  $z$ , auquel cas on ne disposeraient pas d'une solution générale aussi simple que (7.4).

Comme  $z = vt$ , on peut réécrire (6.22) sous la forme

$$\frac{\partial}{\partial t} M + v \frac{\partial}{\partial z} M = -\frac{1}{\tau_p} M - \frac{\cos 2kz}{\tau_p} \quad (7.8)$$

Après un temps de l'ordre de  $\tau_p$ , le régime transitoire s'est amorti et le terme  $\partial M / \partial t$  est nul.

$$v \frac{\partial}{\partial z} M = -\frac{1}{\tau_p} M - \frac{\cos 2kz}{\tau_p} \quad (7.9)$$

On peut alors rechercher une solution de (7.9) sous forme d'un développement en puissances de  $k v \tau_p$ . A l'ordre 0, on peut ignorer le membre de gauche de (7.9), ce qui donne alors la solution stationnaire (7.1)

$$M^{(0)}(z) = M^{st}(z) \quad (7.10)$$

A l'ordre 1, on peut remplacer dans le membre de gauche, qui est déjà proportionnel à  $v$ ,  $M$  par  $M^{(0)} = M^{st}$ , ce qui donne, puisque le terme en  $-\cos 2kz / \tau_p$  a disparu après le calcul à l'ordre 0

$$M^{(1)}(z) = -v \tau_p \frac{\partial}{\partial z} M^{st}(z) \quad (7.11)$$

En ajoutant (7.10) et (7.11), on obtient alors, à l'ordre 1 inclus

$$m(z) = m^{st}(z) - v \tau_p \frac{d}{dz} m^{st}(z) \approx m^{st}(z - v \tau_p) \quad (7.12)$$

qui coïncide avec (7.7).

Solution à grande vitesse :  $k v \tau_p \gg 1$

L'équation (7.5) donne alors

$$m(z) = -\frac{1}{2k v \tau_p} \sin 2kz \quad (7.13)$$

$m(z)$  décroît donc en  $1/v$  à grande vitesse.

## ⑥ Description du mouvement atomique dans le régime $T_{int} \ll T_{ext}$

Si  $T_{int} \ll T_{ext}$ , l'atome change très souvent de sous-niveau avant que sa vitesse n'ait eu le temps de changer appréciablement. On peut alors utiliser les résultats du paragraphe précédent donnant l'état interne de l'atome pour une vitesse  $v$  fixée

### a - Atome immobile en z

#### Force radiative moyenne - Potentiel effectif

- Il suffit de reporter (7.1) dans l'expression (6.14) de la force radiative moyenne  $\bar{F}$  pour obtenir la valeur  $F$  de la composante sur Oz de  $\bar{F}$ , pour un atome en z avec  $v=0$

$$\bar{F}(z, v=0) = -k U_0 \sin 2kz \cos 2kz = -\frac{k U_0}{2} \sin 4kz \quad (7.14)$$

- On peut encore écrire

$$\bar{F}(z, v=0) = -\frac{d}{dz} \bar{U}(z) \quad (7.15)$$

où  $\bar{U}(z)$  est un potentiel effectif égal à

$$\bar{U}(z) = \frac{U_0}{4} \sin^2 2kz \quad (7.16)$$

- Il est clair, d'après (7.14), que la moyenne spatiale de  $\bar{F}(z, v=0)$ , notée  $\overline{\bar{F}(v=0)}$ , est nulle

$$\overline{\bar{F}(v=0)} = 0 \quad (7.17)$$

Un tel résultat se comprend aisément sur la figure 3. En 2 points symétriques par rapport au fond d'une vallée, par exemple en  $z = \lambda/4$ , les populations sont égales, mais les gradients des énergies de chaque sous-niveau sont opposés

#### Condition de validité du résultat obtenu

- La condition  $T_{int} \ll T_{ext}$  sur laquelle repose le calcul précédent signifie que l'atome, initialement immobile, doit se déplacer d'une quantité très petite devant  $\tau$  pendant  $\tau_p$ .

- L'ordre de grandeur de  $F$  est  $k U_0$ , l'accélération correspondante étant de l'ordre de  $k U_0 / M$ . Pendant le temps  $\tau_p$ , l'atome se déplace d'une quantité de l'ordre de  $\frac{k U_0}{M} \tau_p^2$ , qui doit donc être très petite devant  $\tau = 1/k$ , ce qui donne

$$\frac{k U_0}{M} \tau_p^2 \ll \frac{1}{k} \quad (7.18)$$

que l'on peut encore recevoir, compte tenu de (6.35)

$$\Omega_{\text{osc}} \tau_p \ll 1 \quad (7.19)$$

On retrouve bien le régime "sautant" introduit au § 4.c.

### Coefficient de diffusion de l'impulsion

- Nous nous contenterons ici d'une discussion qualitative
- Diffusion d'impulsion due aux photons de fluorescence :  $D_{\text{sport}}$   
La direction d'émission de ces photons est aléatoire. L'impulsion atomique effectue donc une marche aléatoire dans l'espace des impulsions, de pas  $\hbar k$ , le nombre de pas par unité de temps étant de l'ordre de  $\Gamma' = \Gamma s_0$ . On en déduit

$$D_{\text{sport}} \simeq \hbar^2 k^2 \Gamma' s_0 \quad (7.20)$$

- Diffusion d'impulsion due aux fluctuations de la différence entre le nombre de photons absorbés dans chaque onde :  $D_{\text{abs}}$   
Il est du même ordre de grandeur que le précédent

$$D_{\text{abs}} \simeq \hbar^2 k^2 \Gamma' s_0 \quad (7.21)$$

- Diffusion d'impulsion due aux fluctuations des forces dipolaires :  $D_{\text{dip}}$

Tous les  $\tau_p$  en moyenne, l'atome change de sous-niveau et la force instantanée, liée au gradient de  $E_{+1/2}$  ou  $E_{-1/2}$ , de l'ordre de  $k V_0$ , change de signe. La fonction de corrélation de cette force,  $\overline{F(t)F(t-\tau)}$ , de l'ordre de  $k^2 V_0^2$  pour  $\tau=0$ , tend vers 0 quand  $\tau \gg \tau_p$ , de sorte que

$$\begin{aligned} D_{\text{dip}} &\simeq \int_0^\infty d\tau \overline{F(t)F(t-\tau)} \simeq k^2 V_0^2 \tau_p \\ &\simeq \hbar^2 k^2 \frac{\delta^{1/2}}{\Gamma'} = \hbar^2 k^2 \Gamma' s_0 \frac{\delta^2}{\Gamma'^2} \end{aligned} \quad (7.22)$$

Pour  $|\delta| \gg \Gamma$ ,  $D_{\text{dip}}$  est plus important que  $D_{\text{sport}}$  et  $D_{\text{abs}}$ .

Un calcul exact de  $D_{\text{dip}}$ , présenté dans la Réf (1), donne pour la moyenne spatiale de  $D_{\text{dip}}$

$$\overline{D_{\text{dip}}} = \frac{3}{4} \hbar^2 k^2 \Gamma' s_0 \frac{\delta^2}{\Gamma'^2} \quad (7.23)$$

### b - Atome de vitesse faible : $k v \tau_p \ll 1$

#### Calcul de la force - Coefficient de friction

- Reportons la 1<sup>re</sup> ligne de (7.7) dans l'expression (6.14) de  $F$ . Il vient

$$\tilde{F}(z, v) = F(z, v=0) - \alpha(z) v \quad (7.24)$$

où  $\alpha(z)$ , qui est le coefficient de friction en  $z$ , vaut

$$\alpha(z) = 2 k^2 V_0 \tau_p \sin^2 2k z \quad (7.25)$$

- Contrairement à  $F(z, v=0)$  qui a une moyenne spatiale nulle (voir (7.17)),  $\alpha(z)$  a une moyenne spatiale qui vaut

$$\bar{\alpha} = k^2 V_0 \tau_p = -\frac{2}{3} \hbar k^2 \delta s_0 \tau_p \\ = -3 \hbar k^2 \frac{\delta}{\Gamma} \quad (7.26)$$

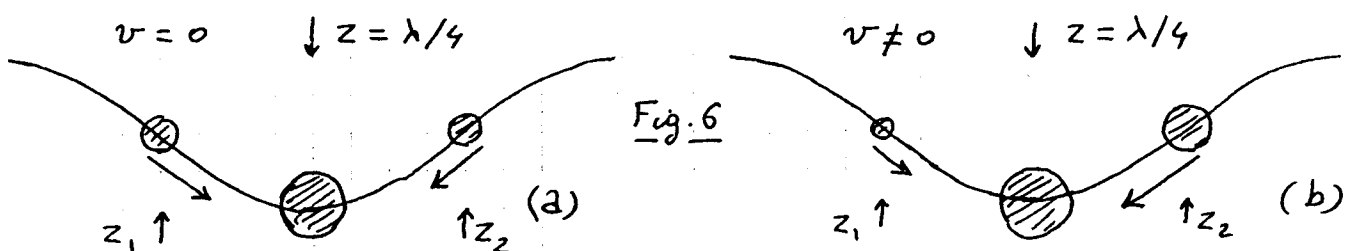
On a utilisé (6.13) et (6.23). Rappelons que  $\delta < 0$ , de sorte que  $\alpha$  est bien positif et représente une friction.

- Le temps d'amortissement de la vitesse associé à la force (7.24) moyennée sur une longueur d'onde est de l'ordre de  $1/\bar{\alpha}M \approx 1/k^2 V_0 \tau_p M$  d'après (7.26). Ce temps peut être considéré comme un temps externe  $T_{ext}$ . En courant qui un tel temps est très long devant  $T_{int} \approx \tau_p$ , on retrouve la condition (7.18).

### Discussion physique

(i) Le fait que  $\bar{F}(z, v)$  n'a plus une moyenne spatiale nulle quand  $v \neq 0$  est dû à l'effet de retard discuté dans le § 5 b plus haut.

Considérons, sur la courbe  $E_{+1/2}(z)$  de la figure 3, 2 points  $z_1$  et  $z_2$  situés symétriquement de part et d'autre de  $z = \lambda/4$ . Pour  $v = 0$ , les populations stationnaires de  $g_{+1/2}$  sont égales en ces 2 points, alors que les gradients de  $E_{+1/2}$  sont opposés (Fig. 6 a)



Supposons maintenant  $v \neq 0$ . Comme  $\Pi_{+1/2}^{st}(z)$  est une fonction croissante de  $z$  sur la partie descendante de  $E_{+1/2}(z)$ , en particulier au voisinage de  $z_1$ ,  $\Pi_{+1/2}$  sera plus petit au point  $z_1$  pour un atome en mouvement que pour un atome au repos (voir Fig. 6 b), à cause de l'effet de retard qui entraîne que  $\Pi_{+1/2}(z_1) = \Pi_{+1/2}^{st}(z_1 - v \tau_p) < \Pi_{+1/2}^{st}(z_1)$ .

Au contraire, au voisinage de  $z_2$ , sur la partie montante de  $E_{+1/2}(z)$ ,  $\Pi_{+1/2}^{st}(z)$  est une fonction décroissante de  $z$  de sorte que  $\Pi_{+1/2}(z_2) = \Pi_{+1/2}^{st}(z_2 - v \tau_p) > \Pi_{+1/2}^{st}(z_2)$ .

Il apparaît ainsi clairement sur les figures 6 a et 6 b que la force qui accélère l'atome dans les parties descendantes est plus faible pour  $v \neq 0$  que pour  $v = 0$ , alors que la force qui le décelle dans les parties montantes est plus forte pour  $v \neq 0$  que pour  $v = 0$ . On comprend ainsi pourquoi l'atome en mouvement est globalement ralenti.

(ii) Une caractéristique très importante de  $\bar{\alpha}$ , qui apparaît clairement sur (7.19), est que  $\bar{\alpha}$  est indépendant de l'intensité laser  $I_L$ . Un tel résultat est dû au fait que, quand  $I_L$  décroît, la diminution de  $V_0$  (déplacements lumineux) est compensée par un allongement de  $\tau_p$  (temps de pompage optique). Rappelons que pour le refroidissement laser Doppler, le coefficient de friction est proportionnel à  $I_L$ . Notons enfin que la valeur de  $\bar{\alpha}$  trouvée

en (7.19) est plus grande que la valeur maximale de  $\alpha$  pour le refroidissement laser Doppler.

(iii) Sous l'effet du terme indépendant de  $v$  de (7.24), l'atome effectue des oscillations dans le potentiel effectif  $\bar{V}(z)$  donné en (7.16). La fréquence de ces oscillations est, à un facteur 2 près, la fréquence  $\Omega_{\text{osc}}$  calculée en (6.35). Le 2<sup>e</sup> terme de (7.24) amortit une telle oscillation avec un taux  $\gamma$ .

$$\gamma \approx \frac{\alpha}{M} \approx \frac{k^2 V_0}{M} \tau_p \quad (7.27)$$

Comparons  $\gamma$  à  $\Omega_{\text{osc}}$ . En utilisant (6.35) et (7.20), on obtient

$$\frac{\gamma}{\Omega_{\text{osc}}} \approx \frac{\frac{k^2 V_0}{M} \tau_p}{k \sqrt{\frac{V_0}{M}}} = k \sqrt{\frac{V_0}{M}} \tau_p = \Omega_{\text{osc}} \tau_p \ll 1 \quad (7.28)$$

puisque nous supposons dans tout ce paragraphe la condition (7.19) vérifiée. L'oscillation de l'atome dans  $\bar{V}(z)$  est donc très peu amortie.

### Ordre de grandeur de la température

- A partir du coefficient de friction  $\alpha$ , donné en (7.26), et du coefficient de diffusion de l'impulsion qui, pour  $181 \gg \Gamma$ , est de l'ordre de  $D_{\text{ip}}$  donné en (7.22), on peut estimer l'ordre de grandeur de la température d'équilibre. Comme dans la théorie du mouvement Brownien, on a

$$k_B T \approx \frac{D}{\alpha} \approx \frac{h^2 k^2 \Gamma s_0 \delta^2 / \Gamma^2}{h k^2 \delta / \Gamma} \approx h \delta s_0 = h \delta' \approx V_0 \quad (7.29)$$

On trouve que  $k_B T$  est de l'ordre de grandeur du déplacement lumineux  $h \delta'$  de l'état fondamental, ou encore de l'ordre de grandeur de la profondeur  $V_0$  des points de potentiel de la figure 3. On trouve le même résultat que celui fourni par le raisonnement général du § 4 a ci-dessus, conduisant à une énergie moyenne finale de l'ordre de  $V_0$ .

- Comme  $s_0 \approx \Omega_1^2 / 2 \delta^2$  pour  $181 \gg \Gamma$ , on a

$$k_B T \approx h \frac{\Omega_1^2}{181} \quad (7.30)$$

La température d'équilibre est donc proportionnelle à  $\Omega_1^2$ , donc à l'intensité laser et inversement proportionnelle au module du désaccord  $181$ .

- A faible intensité, le déplacement lumineux de l'état fondamental est beaucoup plus petit que  $h \Gamma$ . Le refroidissement Siyaga conduit donc à une température beaucoup plus basse que le refroidissement Doppler. On ne peut pas cependant réduire indefinitely l'intensité laser, puisque nous avons vu plus haut (§ 4 b) que  $V_0$  doit être supérieur à un seuil de quelques dizaines de ER.

- Le résultat précédent n'est valable que si la plage de vitesses correspondant à (7.29) est suffisamment petite pour

que l'approximation  $\bar{F}$  linéaire en  $v$  et  $D$  indépendant de  $v$  soit valable. Nous reviendrons plus loin sur ces 2 points.

### C - Atome de vitesse quelconque

#### Calcul de la force

Au lieu de reporter (7.7) dans (6.14), on reporte maintenant l'expression exacte (7.5). Après moyenne spatiale, on trouve pour la force moyenne

$$\overline{\bar{F}(v)} = -kV_0 \frac{kv\tau_p}{1 + 4k^2v^2\tau_p^2} = -\frac{\bar{\alpha}v}{1 + \left(\frac{v}{v_c}\right)^2} \quad (7.31)$$

où  $\bar{\alpha}$  est donné en (7.26) et où  $v_c$  est une "vitesse de capture" donnée par

$$v_c = \frac{1}{2k\tau_p} = \frac{\lambda}{2\tau_p} \quad (7.32)$$

Un atome de vitesse  $v_c$  parcourt donc une distance  $\lambda/2$  pendant le temps de pompage optique

#### Discussion physique

-  $v_c$  donne l'ordre de grandeur de la plage de vitesses dans laquelle  $\bar{F}(v)$  reste linéaire. Comme  $1/\tau_p$  est proportionnel à l'intensité laser  $S_L^2$ ,  $v_c$  décroît comme  $S_L^2$  quand  $S_L$  diminue. Cette situation est différente de celle du refroidissement Doppler où la vitesse de capture, de l'ordre de  $T/k$ , est indépendante de  $S_L$ .

- La plage de vitesse correspondant à la température d'équilibre (7.30) est donné par

$$k_B T \approx \frac{1}{2} M v_{rms}^2 \sim \frac{\hbar S_L^2}{181} \quad (7.33)$$

$v_{rms}$  varie proportionnellement à  $S_L$ , alors que  $v_c$  varie quadratiquement. Pour que le calcul conduisant à (7.29) ou (7.30) soit valable, il faut que  $v_{rms}$  tombe dans la zone linéaire de  $\bar{F}(v)$ , c'est à dire encore que  $v_{rms} < v_c$ , ce qui donne, compte tenu de (7.32) et (7.33)

$$k_B T \gg E_R \frac{\delta^2}{P^2} \quad (7.34)$$

En fait, le raisonnement précédent suppose encore que le coefficient de diffusion reste constant dans l'intervalle  $v_c$ . Nous allons voir maintenant, en étudiant ce qui se passe à grande vitesse, que  $D$  décroît avec  $v$  sur un intervalle de l'ordre de  $v_c$ , de sorte que la condition (7.34) est trop sévère.

### d - Atome de vitesse élevée

#### Description des phénomènes à la limite $E \gg V_0$ , $v \gg v_c$

- C'est la description donnée au § 4 ci-dessus, en termes de sauts d'un sous niveau à l'autre au cours desquels  $E$  varie de  $\delta E$ , de l'ordre de  $-V_0$ . Comme  $V_0 \ll E$ , chaque

Sont fait varier très peu l'énergie en valeur relative, de sorte que  $T_{ext} \gg T_{int}$ . On peut donc, à haute énergie (et même si  $\beta s_0 \tau_p \gg 1$ ), utiliser la description en termes de force moyenne et de coefficient de diffusion. C'est uniquement quand  $E$  aura beaucoup diminué et sera devenu de l'ordre de  $V_0$  qu'il faudra éventuellement changer de description si  $\beta s_0 \tau_p \gg 1$ .

- Entre 2 sauts, l'atome reste sur un même sous niveau, avec une énergie totale  $E$  constante. Comme  $v \gg v_c$ , il parcourt plusieurs  $\lambda$  avant de changer de sous niveau et son énergie cinétique  $T$ , qui oscille entre  $E$  et  $E - V_0$ , a une valeur moyenne

$$\tilde{T} = E - \frac{V_0}{2} = \frac{v^2}{2M} \quad (7.35)$$

Comme  $V_0$  est constant, on déduit que (7.35) que la variation  $\delta \tilde{T}$  de  $\tilde{T}$  dans un saut est égale à la variation  $\delta E$  de  $E$

$$\delta \tilde{T} = \delta E = \frac{\tilde{P}}{M} \delta \tilde{p} = v \delta \tilde{p} \quad (7.36)$$

- Dans le § 4 ci-dessus (vois notamment les formules (6.48) et (6.47) du complément au § 4, page VI-10), nous avons calculé la valeur moyenne  $\overline{\delta E}$  de  $\delta E$  et sa variance  $\overline{\delta E^2} - \overline{\delta E}^2$  au bout d'un temps  $\delta t$ . Comme d'après (7.36),  $\delta \tilde{p} = \delta E/v$ , nous pouvons en déduire la vitesse de variation de la valeur moyenne et de la variance de  $\delta \tilde{p}$ , c.-à-d encore la force moyenne et le coefficient de diffusion de  $p$  à vitesse élevée

### Force moyenne et coefficient de diffusion de l'impulsion à vitesse élevée

- De (6.47) et (6.48) et de  $\delta \tilde{p} = \delta E/v$ , on déduit (pour  $\beta = \frac{11}{6}$ )

$$\frac{\overline{\delta \tilde{p}}}{\delta t} = \frac{2}{3} \frac{\Gamma s_0}{v} \left[ -\frac{V_0}{12} + \frac{11}{6} \frac{t^2 k^2}{2M} \right] = \overline{F} \quad (7.37)$$

$$\frac{\overline{\delta p^2} - \overline{\delta \tilde{p}}^2}{\delta t} = 2D = \frac{2}{3} \Gamma s_0 \frac{1}{v^2} \left[ \frac{V_0^2}{12} + \frac{11}{6} v^2 t^2 k^2 \right] \quad (7.38)$$

#### - Force moyenne

Si l'on suppose  $V_0 \gg E_R$ , on peut négliger le 2<sup>ème</sup> terme du crochet de (7.37). On obtient alors, compte tenu de (6.23) et (7.26)

$$\overline{F(v)} = -\frac{2}{3} \frac{\Gamma s_0}{v} \frac{V_0}{12} = -k^2 V_0 \tau_p \frac{v}{4 v^2 k^2 \tau_p^2} = -\bar{\alpha} v \frac{(v)}{(v_c)^2} \quad (7.39)$$

qui coïncide avec la forme asymptotique de (7.31) pour  $v \gg v_c$ .

#### - Coefficient de diffusion de l'impulsion

On peut écrire (7.38) sous la forme

$$D = D_0 + D_1(v) \quad (7.40)$$

où

$$D_0 = \frac{11}{3} \Gamma s_0 t^2 k^2 \quad (7.41)$$

$$D_1(v) = \frac{\pi S_0}{36} \frac{V_0^2}{v^2} \quad (7.42)$$

$D_0$  est le coefficient de diffusion dû aux fluctuations de la direction d'émission des photons de fluorescence et aux fluctuations de la différence entre les nombres de photons absorbés dans les 2 ondes.  $D_1$ , qui est proportionnel à  $V_0^2$ , est le coefficient de diffusion dû aux fluctuations des forces dipolaires. En utilisant (6.13), (6.23) et (7.23), on peut l'écrire sous la forme

$$D_1(v) = \frac{\hbar^2 k^2 P S_0}{r^2} \frac{\delta^2}{4 k^2 v^2 \tau_p^2} = \frac{4}{3} D_{\text{dip}}(v=0) \frac{1}{(\frac{v}{v_c})^2} \quad (7.43)$$

Il apparaît ainsi que le coefficient de diffusion  $D_{\text{dip}}$  décroît avec  $v$ , en  $(4/3)(v_c/v)^2$  pour  $v \gg v_c$ . Cette décroissance est due au fait que, comme l'atome parcourt plusieurs  $\lambda$  avant de changer de niveau, la force dipolaire instantanée (gradient de  $E+1/2$  ou  $E-1/2$ ) oscille plusieurs fois avant de changer de signe. La fonction de corrélation de  $F(t)$ ,  $\overline{F(t)F(t-\tau)}$ , qui a l'allure représentée sur la Fig. 7.2 pour  $v=0$ , a l'allure représentée sur la Fig. 7.6 pour  $v \gg v_c$ .

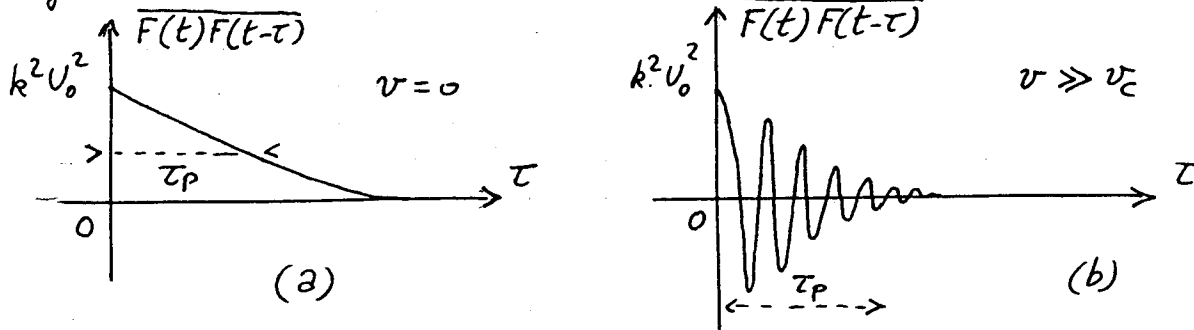


Fig. 7

L'intégrale de  $\overline{F(t)F(t-\tau)}$ , qui n'est autre que  $D_1$  ou  $D_{\text{dip}}$ , est donc beaucoup plus petite pour  $v \gg v_c$  que pour  $v=0$ .

### - Conséquence pour la température d'équilibre.

Pour  $v \gg v_c$ , la force de friction est beaucoup plus faible d'après (7.31). Mais en même temps le changement par diffusion d'impulsions est beaucoup plus faible d'après (7.43), à condition bien sûr que  $D_1(v)$  reste encore prépondérant devant  $D_0$ . Il s'ensuit que le refroidissement Syghe peut rester efficace même si  $v \gg v_c$ . On peut montrer ainsi que la condition de validité de (7.29), écrite plus haut sous la forme  $v_{\text{rms}} \ll v_c$  peut être remplacée par  $v_{\text{rms}} \ll v_c \frac{181}{P}$  qui est moins stricte.

Références : les mêmes que page VII - 9